

(532) クリープ挙動と組織変化 (高張力鋼のクリープ強度の研究-1)

新日本製鐵(株)八幡技術研究部 ○朝日 均, 三好 弘
十河泰雄

1. 緒言

ボイラ等に使用される低合金鋼のクリープに関しては従来多くの研究が行われていて、低合金高張力鋼でも比較的低温でのクリープが問題になることがあるが、ボイラ用鋼とは強度、組織、クリープの条件が異なり、ほとんど何も明らかではない。

2. 実験方法

Table 1 に示す 3 鋼種のクリープ伸びを 240 時間まで測定した。クリープおよび同じ条件での焼もどしによる硬さ、組織変化を調査た。また転位密度の変化を CoK_{α1} 線による (211) 回折線の半価幅により測定した。

3. 結果

- Fig. 1 はクリープ曲線の一例である。約 50 時間で定常クリープに達しており、B 鋼のクリープ変形は大きい。
- Fig. 2 は応力と定常クリープ速度の関係である。B, C 鋼は強度、組織とも似ているが、クリープ速度は C 鋼の方が約 1/100 小さく、応力依存性も小さい。これは Cr-Mo 添加の効果であろう。A 鋼のクリープ速度は B 鋼より小さいが高応力では短時間で破断する。
- Fig. 3 と Photo 1 は Fig. 1 の試験条件での材料の変化を示している。3 鋼種とも熱履歴、クリープによる硬度変化はほとんどなく、炭化物の分布、寸法の変化も観察されないので熱履歴による組織の安定化(焼もどし)も応力による焼もどしの加速も起きていないと考えられる。他方クリープを受けた C 鋼の半価幅、 $\Delta 2\theta$ は大きくなっている、転位密度が増えていることを示している。Photo 1 のように熱履歴だけでは組織変化は観察できないが、クリープを受けた材料ではラス境界や粒内にタングルした転位が観察される。

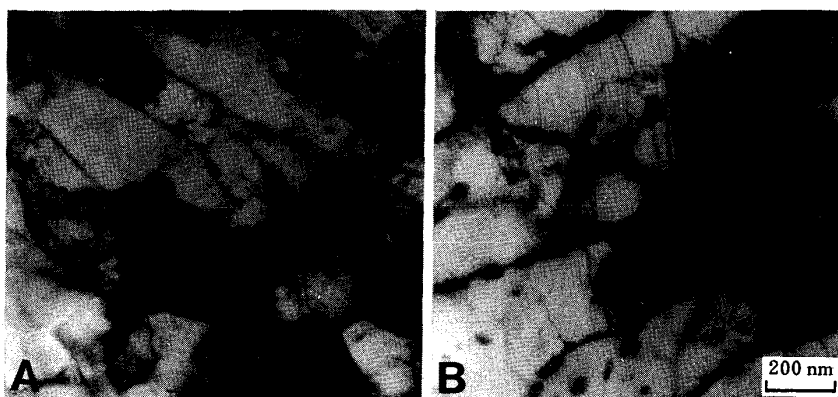


Photo 1 Microstructure of steel B (A) Temper (B) Creep

Table 1 Chemical composition, structure, strength [wt%], [MPa]

steel	C	Si	Mn	Cr	Mo	others	structure	YS	TS
A	0.47	0.24	1.30	—	—	Al	Pearlite	406	780
B	0.26	0.26	1.33	—	—	Al, Ti, B	Tempered	652	728
C	0.26	0.12	0.52	1.06	0.45	Nb, Al, Ti, B	Martensite	690	776

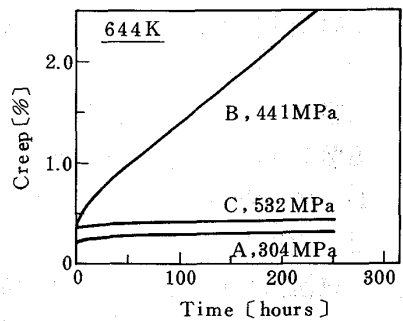


Fig. 1 Creep behavior at 644 K

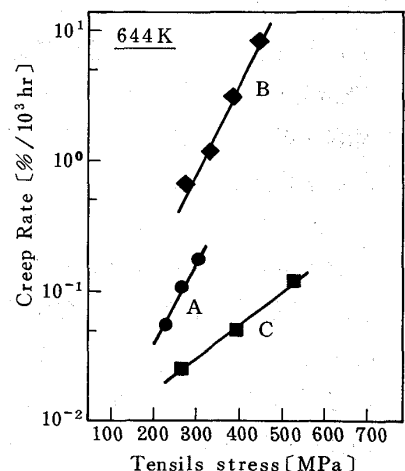


Fig. 2 Dependence of creep rate on stress

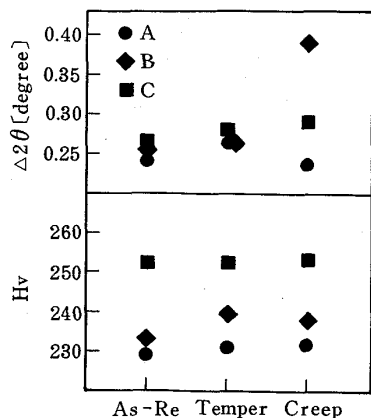


Fig. 3 Change of $\Delta 2\theta$, Hv by tempering and creep